

## Математическая модель трансформации форм фосфора, азота и кремния в движущейся турбулентной водной среде в задачах динамики планктонных популяций

А.И. Сухинов<sup>1</sup>, Ю.В. Белова<sup>2</sup>

<sup>1</sup>Донской государственной технической университет, Ростов-на-Дону

<sup>2</sup>Южный федеральный университет, Ростов-на-Дону

**Аннотация:** в данной статье построена математическая модель трансформации форм биогенных веществ, содержащих фосфор, азот и кремний, в мелководных водоемах, подобных Азовскому морю. Модель учитывает поглощение и выделение питательных веществ фитопланктоном, а также переход веществ из одной формы в другую. Проведено исследование системы уравнений, описывающих модель, для чего выполнена линеаризация системы, построен квадратичный функционал. В результате исследования получены достаточные условия единственности решения задачи, сформулирована теорема.

**Ключевые слова:** фитопланктон, фосфор, азот, кремний, биоген, химико-биологический источник, уравнение конвекции-диффузии-реакции, линеаризация, единственность решения системы уравнений.

В настоящее время существует потребность моделирования биогеохимических процессов в водных экосистемах с целью их предсказания. Эта проблема актуальна для Азовского моря и в особенности для Таганрогского залива, подвергающихся эвтрофикации.

В данной статье рассматривается нестационарная пространственно-трехмерная модель трансформации форм фосфора, азота и кремния и их взаимодействия с планктонной популяцией, которая достаточно полно описывает биогеохимические процессы, происходящие в мелководных водоемах, подобных Азовскому морю[1-3].

Модель основана на системе уравнений диффузии-конвекции-реакции. Каждый блок модели описывается дифференциальным уравнением в частных производных вида[4]:

$$\frac{\partial q_i}{\partial t} + u \frac{\partial q_i}{\partial x} + v \frac{\partial q_i}{\partial y} + w \frac{\partial q_i}{\partial z} = \operatorname{div}(k \operatorname{grad} q_i) + R_{q_i}, \quad (1)$$

где  $q_i$  - концентрация  $i$ -ой компоненты,  $u, v, w$  - компоненты вектора скорости водного потока,  $\vec{U} = (u, v, w)$ ,

$$\operatorname{div}(k \operatorname{grad} q_i) = \frac{\partial}{\partial x} \left( k_h \frac{\partial q_i}{\partial x} \right) + \frac{\partial}{\partial y} \left( k_h \frac{\partial q_i}{\partial y} \right) + \frac{\partial}{\partial z} \left( k_v \frac{\partial q_i}{\partial z} \right), \quad R_{q_i} - \text{химико-}$$

биологический источник, индекс  $i$  указывает на вид субстанции,  $i \in M$ ,  $M = \{F_1, F_2, F_3, PO_4, POP, DOP, NO_3, NO_2, NH_4, Si\}$ .

Химико-биологические «источники» и «стоки» описываются следующими зависимостями[5,6]:

$$R_{F_i} = C_{F_i} (1 - K_{F_iR}) q_{F_i} - K_{F_iD} q_{F_i} - K_{F_iE} q_{F_i},$$

$$R_{POP} = \sum_{i=1}^3 s_P K_{F_iD} q_{F_i} - K_{PD} q_{POP} - K_{PN} q_{POP},$$

$$R_{DOP} = \sum_{i=1}^3 s_P K_{F_iE} q_{F_i} + K_{PD} q_{POP} - K_{DN} q_{DOP},$$

$$R_{PO_4} = \sum_{i=1}^3 s_P C_{F_i} (K_{F_iR} - 1) q_{F_i} + K_{PN} q_{POP} + K_{DN} q_{DOP},$$

$$R_{NH_4} = \sum_{i=1}^3 s_N C_{F_i} (K_{F_iR} - 1) \frac{f_N^{(2)}(NH_4)}{f_N(NO_3, NO_2, NH_4)} q_{F_i} - K_{42} q_{NH_4},$$

$$R_{NO_2} = \sum_{i=1}^3 s_N C_{F_i} (K_{F_iR} - 1) \frac{f_N^{(1)}(NO_3, NO_2)}{f_N(NO_3, NO_2, NH_4)} \cdot \frac{q_{NO_2}}{q_{NO_2} + q_{NO_3}} q_{F_i} + K_{42} q_{NH_4} - K_{23} q_{NO_2},$$

$$R_{NO_3} = \sum_{i=1}^3 s_N C_{F_i} (K_{F_iR} - 1) \frac{f_N^{(1)}(NO_3, NO_2)}{f_N(NO_3, NO_2, NH_4)} \cdot \frac{q_{NO_3}}{q_{NO_2} + q_{NO_3}} q_{F_i} + K_{23} q_{NO_2},$$

$$R_{Si} = s_{Si} K_{F_3D} q_{F_3},$$

где  $i \in \{1, 2, 3\}$ , 1 - это  $ChV$ , 2 -  $AF - A$ , 3 -  $Sc$ , а  $ChV, AF - A, Sc$  - символические обозначения видов планктона,  $K_{F_iR}$  - удельная скорость дыхания фитопланктона;  $K_{F_iD}$  - удельная скорость отмирания фитопланктона;  $K_{F_iE}$  - удельная скорость экскреции фитопланктона;  $K_{PD}$  -

удельная скорость автолиза POP;  $K_{PN}$  - коэффициент фосфатификации POP;  $K_{DN}$  - коэффициент фосфатификации DOP;  $K_{42}$  - удельная скорость окисления аммония до нитритов в процессе нитрификации;  $K_{23}$  - удельная скорость окисления нитритов до нитратов в процессе нитрификации,  $s_P$ ,  $s_N$  - нормировочные коэффициенты между содержанием N и P и весом во влажном состоянии [7].

Скорость роста фитопланктона определяется выражениями:

$$C_{F_{1,2}} = K_{NF_{1,2}} \min \{ f_P(PO_4), f_N(NO_3, NO_2, NH_4) \},$$

$$C_{F_3} = K_{NF_3} \min \{ f_P(PO_4), f_N(NO_3, NO_2, NH_4), f_{Si}(Si) \};$$

где  $K_{NF}$  - максимальная удельная скорость.

Структура взаимодействия отдельных блоков модели имеет вид:

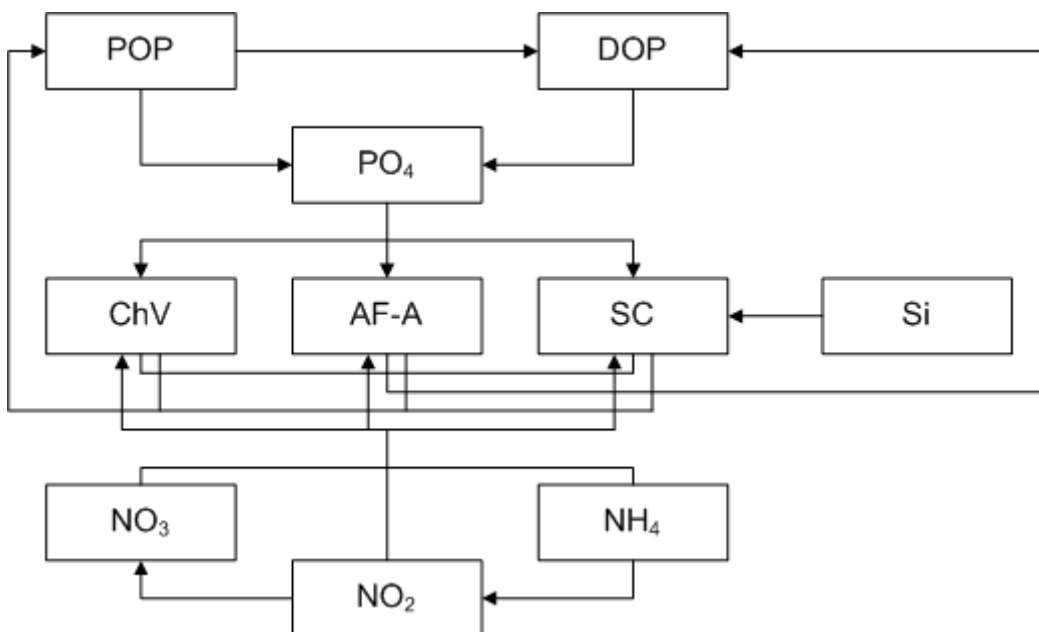


Рис. 1. - Модельная схема биогеохимической трансформации форм фосфора, азота и кремния. ChV – зеленая водоросль *Chlorella vulgaris*, AF-A – синезеленая водоросль *Aphanizomenon flos-aquae*, SC – диатомовая водоросль *Skeletonema costatum*, PO<sub>4</sub> - фосфаты, POP - взвешенный органический фосфор, DOP - растворенный органический фосфор, NH<sub>4</sub>,- аммоний, NO<sub>2</sub> - нитриты, NO<sub>3</sub> - нитраты, Si – растворенный неорганический кремний.

Присоединим начальные условия:

$$q_i(x, y, z, 0) = q_i^0(x, y, z), \quad (x, y, z) \in \bar{G}, \quad t = 0, \quad i \in M \quad (2)$$

и граничные

$$\begin{cases} q_i = 0, u_n < 0 \\ \frac{\partial q_i}{\partial n} = 0, u_n \geq 0 \end{cases} \text{ на цилиндрической боковой поверхности;} \quad (3)$$

$$\frac{\partial q_i}{\partial z} = 0, \text{ на свободной поверхности водоема;} \quad (4)$$

$$\frac{\partial q_i}{\partial z} = \varepsilon_{1,i} q_i, \quad \frac{\partial q_i}{\partial z} = \varepsilon_{2,i} q_i, \text{ на дне,} \quad (5)$$

где  $\varepsilon_{1,i}, \varepsilon_{2,i}$  - неотрицательные постоянные,  $\varepsilon_{1,i}, i \in \{F_1, F_2, F_3\}$  учитывают опускание водорослей на дно и их затопление;  $\varepsilon_{2,i}, i \in \{PO_4, POP, DOP, NO_3, NO_2, NH_4, Si\}$  учитывают поглощение питательных веществ донными отложениями.

Для получения условий существования и единственности задачи (1)-(5) проведем линеаризацию системы временной сетке  $\omega_\tau = \{t_n = n\tau, n = 0, 1, \dots, N; N\tau = T\}$ . Члены вида  $R_{q_i}$  линеаризуются в пределах каждого временного шага, а именно, вместо уравнения (1) рассматривается цепочка уравнений вида

$$\frac{\partial q_i}{\partial t} + \operatorname{div}(\bar{U}, q_i) = \operatorname{div}(k \operatorname{grad} q_i) + R_{q_i}^n(q_i), \quad t_n < t \leq t_n + \tau \quad (6)$$

где

$$R_{F_i}^n(q_{F_i}) = C_{F_i}^n (1 - K_{F_i R}) q_{F_i} - K_{F_i D} q_{F_i} - K_{F_i E} q_{F_i}, \quad i = 1, 2, 3,$$

$$R_{POP}^n(q_{POP}) = \sum_{i=1}^3 s_P K_{F_i D} q_{F_i}^n - K_{PD} q_{POP} - K_{PN} q_{POP},$$

$$R_{DOP}^n(q_{DOP}) = \sum_{i=1}^3 s_P K_{F_i E} q_{F_i}^n + K_{PD} q_{POP}^n - K_{DN} q_{DOP},$$

$$R_{PO_4}^n(q_{PO_4}) = \sum_{i=1}^3 s_P C_{F_i}^n (K_{F_iR} - 1) q_{F_i}^n + K_{PN} q_{POP}^n + K_{DN} q_{DOP}^n,$$

$$R_{NH_4}^n(q_{NH_4}) = \sum_{i=1}^3 \frac{s_N C_{F_i}^n (K_{F_iR} - 1) q_{F_i}^n}{(K_{NH_4} + q_{NH_4}^n)(q_{NO_3}^n + q_{NO_2}^n) \exp(-K_{psi} q_{NH_4}^n) + q_{NH_4}^n} \cdot q_{NH_4} - K_{42} q_{NH_4}^n,$$

$$R_{NO_3}^n(q_{NO_3}) = \sum_{i=1}^3 \frac{s_N C_{F_i}^n (K_{F_iR} - 1) \exp(-K_{psi} q_{NH_4}^n) q_{F_i}^n}{(q_{NO_3}^n + q_{NO_2}^n) \exp(-K_{psi} q_{NH_4}^n) + \frac{q_{NH_4}^n (K_{NO_3} + q_{NO_3}^n + q_{NO_2}^n)}{K_{NH_4} + q_{NH_4}^n}} \cdot q_{NO_3} +$$

$$+ K_{23} q_{NO_2}^n,$$

$$R_{NO_2}^n(q_{NO_2}) = \sum_{i=1}^3 \frac{s_N C_{F_i}^n (K_{F_iR} - 1) \exp(-K_{psi} q_{NH_4}^n) q_{F_i}^n}{(q_{NO_3}^n + q_{NO_2}^n) \exp(-K_{psi} q_{NH_4}^n) + \frac{q_{NH_4}^n (K_{NO_3} + q_{NO_3}^n + q_{NO_2}^n)}{K_{NH_4} + q_{NH_4}^n}} \cdot q_{NO_2} +$$

$$+ K_{42} q_{NH_4}^n - K_{23} q_{NO_2}^n,$$

$$R_{Si}^n(q_{Si}) = s_{Si} K_{F_3D} q_{F_3}^n.$$

К начальным условиям (2) присоединяются следующие условия

$$q_i(x, y, z, t_n) = q_i(x, y, z, t_n + \tau) = q_i^n(x, y, z), \quad (7)$$

где  $q_i(x, y, z, t_n + \tau)$  - «финальное» решение задачи (6) для предыдущего временного интервала  $t_n < t \leq t_n + \tau$ .

Для линеаризованной системы построим квадратичный функционал, в результате преобразований которого и будут получены искомые условия [8,9]. Имеет место теорема.

**Теорема.** Пусть поставлена начально-краевая задача для линеаризованной по правым частям системы уравнений (6) с дополнительными условиями: начальными (2,7) и граничными (3-5).

Пусть  $q_i$  принадлежат классу  $C^2(G) \cap C^1(\overline{G}) \cap C^1(0 < t \leq T)$ ,  $k_h(z)$ ,  $k_v(z) \in C^1(\overline{G})$ ,  $R_{q_i}(x, y, z) \in C^1(\overline{G})$  и для каждого  $n = \overline{0, N-1}$  выполняются неравенства

$$\frac{4k_h}{H_x^2} + \frac{4k_h}{H_y^2} + \frac{4k_v}{H_z^2} + K_{F_1D} + K_{F_1E} > K_{NF_1} \min \{f_P^n(PO_4), f_N^n(NO_3, NO_2, NH_4)\} (1 - K_{F_1R})$$

$$\frac{4k_h}{H_x^2} + \frac{4k_h}{H_y^2} + \frac{4k_v}{H_z^2} + K_{F_2D} + K_{F_2E} > K_{NF_2} \min \{f_P^n(PO_4), f_N^n(NO_3, NO_2, NH_4)\} (1 - K_{F_2R})$$

$$\frac{4k_h}{H_x^2} + \frac{4k_h}{H_y^2} + \frac{4k_v}{H_z^2} + K_{F_3D} + K_{F_3E} >$$

$$> K_{NF_3} \min \{f_P^n(PO_4), f_N^n(NO_3, NO_2, NH_4), f_{Si}^n(Si)\} (1 - K_{F_3R})$$

$$\frac{4k_h}{H_x^2} + \frac{4k_h}{H_y^2} + \frac{4k_v}{H_z^2} + K_{42} > \sum_{i=1}^3 \frac{s_N C_{F_i}^n (K_{F_iR} - 1) q_{F_i}^n}{(K_{NH_4} + q_{NH_4}^n)(q_{NO_3}^n + q_{NO_2}^n) \exp(-K_{psi} q_{NH_4}^n) + q_{NH_4}^n} \cdot \frac{K_{NO_3} + (q_{NO_3}^n + q_{NO_2}^n)}{K_{NO_3} + (q_{NO_3}^n + q_{NO_2}^n)}$$

$$\frac{4k_h}{H_x^2} + \frac{4k_h}{H_y^2} + \frac{4k_v}{H_z^2} > \sum_{i=1}^3 \frac{s_N C_{F_i}^n (K_{F_iR} - 1) \exp(-K_{psi} q_{NH_4}^n) q_{F_i}^n}{(q_{NO_3}^n + q_{NO_2}^n) \exp(-K_{psi} q_{NH_4}^n) + \frac{q_{NH_4}^n (K_{NO_3} + q_{NO_3}^n + q_{NO_2}^n)}{K_{NH_4} + q_{NH_4}^n}}$$

Тогда решение поставленной задачи существует и единственно.

Используя полученную математическую модель можно составить прогноз развития экосистемы на длительный срок и для различных значений входных параметров, разработав программный комплекс для многопроцессорной вычислительной системы [10, 11].

### Литература

1. Якушев Е.В., Сухинов А.И. и др. Комплексные океанологические исследования Азовского моря в 28-м рейсе научно-исследовательского судна «Акванавт» // Океанология. 2003. т. 43, №1. С. 44-53.

2. Сухинов А.И., Никитина А.В. Математическое моделирование и экспедиционные исследования качества вод в Азовском море // Известия ЮФУ. Технические науки. 2011. №8(121). С. 62-73.

3. Чистяков А.Е., Першина Ю.В. Решение задачи динамики популяций на основе модели хищник-жертва // Известия ЮФУ. Технические науки. 2013. №8. С. 142-149.

4. Першина Ю.В. Решение задачи динамики фитопланктона при наличии механизма эктокринного регулирования // Информатика, вычислительная техника и инженерное образование. 2013. №3(14). С. 45-54.

5. Yakushev E.V., Neretin L.N. One-dimensional modeling of nitrogen and sulphur cycles in the apotic zones of the Black and Arabian Seas // Global Biogeochemical Cycles. 1997. №11. pp. 401-414.

6. Ward B.B., Kilpatrick K.A. Nitrogen transformations in the oxic layer of permanent anoxic basins: the Black Sea and Cariaco Trench // Izdar E., Murray J.W. (Eds.), Black Sea Oceanography. Norwell: Springer, 1991. pp. 111-124.

7. Yakushev E.V., Pollehne F., Jost G. (Ets) Analysis of the water column oxic/anoxic interface in the Black and Baltic seas with a numerical model // Marine Chemistry. 2007. №107. pp. 388-410.

8. Сухинов А.И., Першина Ю.В. Достаточные условия единственности решения задачи динамики фитопланктона при наличии механизма эктокринного регулирования // Известия ЮФУ. Технические науки. 2009. №8 (97). С. 134-148.

9. Самарский А.А., Вабищевич П.Н. Численные методы решения задач конвекции-диффузии. 4-е изд. М.: Едиториал УРСС, 2009. 248 с.

10. Чистяков А.Е., Фоменко Н.А. Применение адаптивного модифицированного попеременно-треугольного итерационного метода для численной реализации двумерной математической модели движения водной

---



среды // Инженерный вестник Дона, 2012, №2 URL: ivdon.ru/magazine/archive/n2y2012/794.

11. Е.Е. Дегтярева, Е.А. Проценко, А.Е. Чистяков Программная реализация трехмерной математической модели транспорта взвеси в мелководных акваториях // Инженерный вестник Дона, 2012, №4 URL: ivdon.ru/ru/magazine/archive/n4p2y2012/1283.

### References

1. Yakushev E.V., Sukhinov A.I. (Eds) Okeanologiya. 2003. t. 43, №1. pp. 44-53.
2. Sukhinov A.I., Nikitina A.V. Izvestiya UFU. Tekhnicheskiye nauki. 2011. №8(121). pp. 62-73.
3. Chistyakov A.E., Pershina Y.V. Izvestiya UFU. Tekhnicheskiye nauki. 2013. №8. pp. 142-149.
4. Pershina Y.V. Informatika, vychislitel'naya tekhnika I inzhenernoye obrazovaniye. 2013. №3 (14). pp. 45-54.
5. Yakushev E.V., Neretin L.N. One-dimensional modeling of nitrogen and sulphur cycles in the aphotic zones of the Black and Arabian Seas. Global Biogeochemical Cycles. 1997. №11. pp. 401-414.
6. Ward B.B., Kilpatrick K.A. Nitrogen transformations in the oxic layer of permanent anoxic basins: the Black Sea and Cariaco Trench. Izdar E., Murray J.W. (Eds.), Black Sea Oceanography. Norwell: Springer, 1991. pp. 111-124.
7. Yakushev E.V., Pollehne F., Jost G. (Eds) Analysis of the water column oxic/anoxic interface in the Black and Baltic seas with a numerical model. Marine Chemistry. 2007. №107. pp. 388-410.
8. Sukhinov A.I., Pershina Y.V. Izvestiya UFU. Tekhnicheskiye nauki. 2009. №8 (97). pp. 134-148.





9. Samarskiy A.A., Vabishevich P.N. Chislenniye metodi resheniya zadach konveksii-diffuzii [Numerical methods of solution of convection-diffusion problems]. 4-e izd. M.: Editorial URCC, 2009. 248 p.

10. Chistyakov A.E., Phomenko N.A. Inženernyj vestnik Dona (Rus). 2012. №2 URL: [ivdon.ru/magazine/archive/n2y2012/794](http://ivdon.ru/magazine/archive/n2y2012/794).

11. Degtyareva E.E., Procenko E.A., Chistyakov A.E. Inženernyj vestnik Dona (Rus). 2012. №4 URL: [ivdon.ru/ru/magazine/archive/n4p2y2012/1283](http://ivdon.ru/ru/magazine/archive/n4p2y2012/1283).